

بهینه سازی فرایند تثبیت و جامدسانزی سیمانی لجن صنایع آبکاری

توسط شبکه عصبی مصنوعی و روش سطح پاسخ

محمدجواد ذوقی، حسین گنجی دوست*

نادر مختارانی، بیتا آیتی
تهران، دانشگاه تربیت مدرس، دانشکده مهندسی مهندسی عمران و محیط زیست

چکیده: فرایند تثبیت و جامدسانزی یکی از روش‌های دفع پسماندهای خطرناک می‌باشد. در این پژوهش از اختلاط آب مقطر، سیمان پرتلند تیپ دو، آهک و منیزیم اکسید برای تثبیت و جامد سازی لجن صنایع آبکاری استفاده شد. در این مطالعه مقاومت فشاری و میزان غاظت کروم و روی در شیرابه *TCLP* به عنوان پاسخ در نظر گرفته شد. طراحی ۳۰ آزمایش براساس طرح مرکزی برای محاسبه معادله مدل در روش سطح پاسخ و آموزش شبکه عصبی مصنوعی انجام شد. از طراحی تصادفی ۱۰ آزمایش برای صحت سنجی روش‌های چند متغیره استفاده شد. سپس بهینه سازی فرایند تثبیت و جامدسانزی با استفاده از روش سطح پاسخ و شبکه عصبی مصنوعی با یکدیگر مقایسه شد. با توجه به نتیجه‌های مطالعه، از هر دو روش می‌توان با اطمینان بالا در بهینه سازی فرایند استفاده کرد. شبکه عصبی مصنوعی نسبت به روش سطح پاسخ، روشی دقیق‌تر در مدل سازی فرایند تثبیت و جامدسانزی بود. همچنین برای رسیدن به بیشترین لجن خشک قابل دفن طبق استاندارد، میزان منیزیم اکسید، آهک، آب و سیمان مصرفی با توجه به مدل روش سطح پاسخ به ترتیب برابر $15, 3, 6, 49, 5$ گرم و براساس شبکه عصبی مصنوعی به ترتیب برابر $14, 9, 3, 4, 46, 18, 5$ گرم برای 100 گرم لجن خشک صنایع آبکاری بدست آمد.

واژه‌های کلیدی: روش سطح پاسخ؛ روی؛ کروم؛ MgO ؛ تثبیت و جامدسانزی؛ شبکه عصبی مصنوعی.

KEY WORDS: Response surface methodology; Chromium; Zinc; MgO ; Solidification/stabilization; Artificial neural network.

مقدمه

در تصفیه لجن‌های آلوده به فلزهای سنگین می‌باشد [۶، ۵]. در این روش بهوسیله ایجاد هیدروکسیدهای غیر محلول، انتقال فلزهای سنگین به ساختارهای معدنی و محصور شدن فیزیکی ترکیب‌ها، میزان تحرک ترکیب‌های غیرآلی کاهش می‌یابد [۷]. در این فرایند با استفاده از تغییر ظرفیت شیمیایی، سمیت برخی از فلزهای سنگین کاهش یافته [۸] و آلاینده خطرناک با فرایند شیمیایی جامد می‌شود. فرایندهای محصور شدگی و جذب نیز در بی خطرسازی آلاینده مؤثر هستند [۹، ۵].

ساختار شیمیایی لجن به دست آمده از صنایع آبکاری، دارای مقدارهای گوناگون فلزهای سنگین مانند سرب، روی، کروم و نیکل می‌باشد که با توجه به امکان خروج این فلزها از پسماند و انتشار آن‌ها در محیط، این نوع پسماند به عنوان پسماند خطرناک رده بندی شده است [۳ - ۱]. روش‌های گوناگونی برای تصفیه و بی خطرسازی لجن صنایع آبکاری وجود دارد [۴]. تثبیت و جامدسانزی سیمانی به دلیل سادگی و هزینه کم یکی از پرکاربردترین روش‌ها برای تصفیه انواع پسماند‌های خطرناک و نیز مؤثرترین روش

+E-mail: h-ganji@modares.ac.ir

* عهده دار مکاتبات

کاهش حلالیت فلزهای سنگین و جلوگیری از پدیده انحلال دوباره می‌باشد. طبق نتیجه‌های پژوهشی با استفاده از MgO و آهک، میزان تثبیت فلزها تا ۸۰٪ امکان پذیر بوده و با افزایش میزان MgO به بیش از ۱۰٪ راندمان فرایند افزایش یافته است [۱۷]. در مطالعه‌های صورت گرفته بر روی استفاده از MgO تنها کاهش سمیت مطرح بوده و اطلاعات کمی در مورد تأثیر این ماده بر ویژگی‌های فیزیکی نمونه تثبیت و جامدسانی شده در دسترس می‌باشد. همچنین در این مطالعه‌ها استفاده همزمان سیمان، آهک و MgO بررسی نشده است. درنتیجه بررسی تأثیر MgO بر مقاومت فشاری و تأثیر استفاده همزمان از سیمان، آهک و MgO مورد نیاز می‌باشد.

استفاده از روش‌های چندمتغیره به جای تک متغیره در حال گسترش می‌باشد. با استفاده از روش‌های بهینه سازی چندمتغیره تعداد آزمایش‌های مورد نیاز، زمان و هزینه کاهش می‌یابد. در فرایند تثبیت و جامدسانی برهمکنش همبندکننده با پسماند و با سایر همبندکننده‌ها سبب ایجاد تغییر در اثر آن‌ها بر پاسخ‌ها می‌شود. بنابراین اثرهای متغیرها بر فرایند تثبیت و جامدسانی غیرخطی می‌باشد. روش سطح پاسخ^(۱) (RSM) و شبکه عصبی مصنوعی^(۲) (ANN) ابزاری انعطاف‌پذیر برای تحلیل برآشنهای چند متغیره غیرخطی می‌باشند. بهطوری که با استفاده از این دو روش و با انجام تعداد محدودی آزمایش می‌توان رابطه غیرخطی بین متغیرها و پاسخ‌ها را تعیین نمود [۱۸]. از RSM و ANN در مطالعه‌های گوناگون استفاده شده است [۱۸-۲۲].

هدف در این مطالعه تثبیت و جامدسانی لجن خشک اولیه با استفاده از سیمان، آهک و MgO و بهینه سازی فرایند تثبیت و جامدسانی بهوسیله روش‌های چند متغیره می‌باشد. در این مطالعه برای اولین بار شبکه عصبی مصنوعی و روش پاسخ سطح بهطور همزمان برای مدلسازی و پیش‌بینی فرایند تثبیت و جامدسانی لجن خشک اولیه استفاده و نتیجه‌های این دو روش با یکدیگر مقایسه شده است.

بخش تجربی مواد شیمیابی

لجن مورد استفاده در این مطالعه از فیلتر پرس و خشک کن تصفیه خانه بخش آبکاری کارخانه پارس خزر واقع در شهر رشت تهیه شد. این لجن از ترسیب پساب بخش آبکاری بهوسیله آهک

(۱) Response surface method

مطالعه‌ها نشان داده که میزان روی و کروم موجود در لجن صنایع آبکاری بین ۷ تا ۴۰ درصد وزنی متغیر می‌باشد، درحالی که میزان سرب و نیکل بین ۴ تا ۹ درصد بوده است [۳]. بنابراین میزان غلظت روی و کروم در پسماند این نوع صنایع همواره از غلظت سرب و نیکل به‌طور محسوسی بیشتر می‌باشد و در این پژوهش، تثبیت و جامد سازی روی و کروم مورد بررسی قرار گرفت. اگرچه برخی از فلزهای سنگین مانند روی در سامانه‌های زیستی به مقدار کم مورد نیاز هستند. اما تمام آن‌ها در مقدارهای بالا سمی می‌باشند. مقدارهای بالای روی سبب مرگ سلول‌های اعصاب و صدهمهای مغزی می‌شود [۱۰]. در محیط آلوده، کروم به‌طور معمول به‌صورت کروم شش ظرفیتی وجود دارد. همچنین این فلز با توجه به شرایط اکسایش - کاهش و میزان pH محیط می‌تواند به صورت کروم سه ظرفیتی وجود داشته باشد. در شرایط هوایی (سطح خاک)، آب‌های سطحی کم عمق) کروم به شکل شش ظرفیتی وجود دارد. در شرایط بی‌هوایی (آب‌های زیر زمینی و اعماق خاک) کروم شش ظرفیتی به کروم سه ظرفیتی تبدیل می‌شود. میزان سمیت کروم سه ظرفیتی سبب بروز انواع بیماری‌های پوستی و سرطان می‌شود. بسیاری از ترکیب‌های کروم به علت سرطان زا بودن، ایجاد جهش زننده، ناهنجاری‌های کروموزومی و حساسیت‌های پوستی به عنوان پسماند خطرناک در نظر گرفته می‌شوند [۱۱].

از سیمان به‌طور گسترده برای کنترل، کاهش نفوذپذیری، کپسوله کردن، کاهش حلالیت و کاهش سمیت برخی از اجزای خطرناک از جمله تثبیت و جامدسانی لجن حاوی فلزهای سنگین استفاده شده است [۱۲، ۵]. بهطوری که اگر چنانچه پسماند تثبیت شده دارای مقاومت فشاری ساده (۵۰Psi، ۳۵MPa) باشد، فرایند تصفیه مطابق استاندارد انجام شده است [۱۳، ۱۴].

با توجه به اینکه مقدارهای چشمگیری MgO در لجن صنایع آبکاری موجود است، استفاده از این ماده در فرایند تثبیت و جامدسانی لجن صنایع آبکاری نیز مورد توجه قرار گرفته است. طبق نتیجه‌های برخی مطالعه‌ها، کارایی فرایند تثبیت و جامدسانی از نظر کنترل سمیت در هنگام استفاده از MgO نسبت به استفاده از سیمان و آهک بیشتر است [۱۵]. از دارای اثرهای زیست محیطی کم، حلالیت پایین و قلیائیت بالا بوده، بهطوری که pH بیشینه آن حدود ۱۰ می‌باشد. این ویژگی‌ها باعث تنظیم اسیدیتی و ترسیب فلزها می‌شوند [۱۶]. هدف استفاده از MgO

(۲) Artificial neural network

جدول ۲- ویژگی های شیمیایی همبند کننده ها (درصد وزنی).

MgO	آهک هیدراته	سیمان پرتلند تیپ دو	ترکیب
۱/۵	---	۶۳/۵	CaO
---	۹۶	---	Ca(OH) _۰
۱/۵	---	۱۶/۹	SiO _۰
۹۶	---	۱	MgO
۰/۴	---	۴/۳	Al _۰ O _۰
---	۳	---	CaCO _۰
۰/۱۵	---	۲/۹	Fe _۰ O _۰
۰/۱	---	۲/۷	SO _۰

جدول ۱- ویژگی های لجن خشک اولیه و نتیجه های آزمایش TCLP.

TCLP شیرابه	غله	عنصر
استاندارد (mg/kg)	غله (mg/kg)	(mg/kg dry sludge)
---	۲۸/۵	۲۵۲۰۰
۵	۲۶۱	۹۲۱۰۰
---	۰/۱۲	۲۵۰۰
۵	۳/۶	۱۲۰۰
۱۵	۲/۹	۳۴۵۰
۱	<۰/۰۱>	<۲
---	۳۸۰	۱۲۶۰۰
---	۹۵۰	۲۸۹۰۰
		Ca

اما به علت غله ای کمتر تری کلسیم سیلیکات و غله ای بیشتر دی کلسیم سیلیکات (2CaO.SiO_۰) افزایش مقاومت در آن کنتر می باشد [۲۳]. بنابراین با توجه به غله ای پایین سولفات لجن، دسترسی آسان، کاربرد وسیع تر و افزایش مقاومت سریع تر سیمان تیپ ۲، از این سیمان برای فرایند تنیت و جامد سازی استفاده شد.

آماده سازی نمونه ها

برای تنیت و جامد سازی لجن از آب مقطور، سیمان پرتلند تیپ دو، لجن خشک اولیه، MgO و آهک جهت ساخت ملات استفاده شد که برای تولید نمونه های گوناگون این مواد با نسبت های گوناگون مخلوط شدند. تعیین نسبت این مواد با توجه به آزمایش های مقدماتی، مطالعه های گذشته و طراحی آزمایش به روش طرح مرکزی (CCD) (۳) انجام شد. پس از اختلاط کامل ملات توسط مخلوط کن، ملات طبق روش استاندارد در داخل قالب های ۵۰ mm ریخته شد و پس از گیرش اولیه در ۲۴ ساعت به مدت ۲۸ روز در آب قرار گرفت [۲۴]. این روش برای ساخت تمام ۴۰ نمونه مورد نیاز این مطالعه استفاده شد.

مقاومت فشاری نمونه ها

پس از آماده سازی نمونه های مکعبی با ابعاد ۵۰ mm مقاومت فشاری طبق استاندارد ASTM C 109-80 بر روی نمونه های ۲۸ روزه انجام گرفت [۲۴].

به دست آمده و pH و هدایت الکتریکی آن به ترتیب برابر ۸/۶۲ و ۱/۵۳ mS/cm بود. رسوب های این بخش از فیلتر پرس و خشک کن با دمای ۶۰°C عبور می کند. میزان رطوبت لجن بعد از عبور از فیلتر پرس ۴۰٪ وزنی و پس از عبور از خشک کن ۸٪ وزنی بود. سپس این لجن در آزمایشگاه و در دمای ۱۰۵°C تا رسیدن به وزن ثابت خشک و با استفاده از خردکن به ذراتی با قطر کمتر از ۰/۵mm تبدیل شد. در جدول ۱ برخی از اجزای سازنده لجن خشک و نتیجه های آزمایش (۱) ارایه شده است. همان گونه که دیده می شود میزان غله ای کروم و روی نسبت به سایر فلزهای سنگین بیشتر بوده و غله ای منیزیم نیز چشمگیر می باشد.

در این مطالعه از سیمان پرتلند تیپ دو، آهک و MgO با خلوص ۹۶٪ به عنوان همبند کننده (۲) در فرایند تنیت و جامد سازی استفاده شد. ترکیب های شیمیایی همبند کننده ها در جدول ۲ داده شده است. از بین ۵ تیپ موجود سیمان، سیمان تیپ ۲ به علت دسترسی آسان و گستردگی کاربرد آن در تنیت و جامد سازی، انتخاب شد [۹، ۱۴]. همچنین لجن صنایع آبکاری دارای مقدارهای کمی سولفات (۱۵ گرم به ازای هر کیلوگرم لجن خشک) می باشد. سیمان تیپ ۲ به علت غله ای پایین تری کلسیم آلومینات (3CaO.Al_۰O_۰) نسبت به سیمان تیپ ۱، ۳ و ۴ دارای مقاومت بیشتری در برابر اثرهای مخرب سولفات می باشد. سیمان تیپ ۵ نسبت به سیمان تیپ ۲ دارای مقاومت بیشتری در برابر سولفات بوده

(۱) Toxicity Characteristic Leaching Procedure (TCLP)

(۲) Binder

(۳) Central compose design

آماری پیوسته می‌شود که می‌توان با دقت و اطمینان بالا برای به دست آوردن شرایط بهینه استفاده کرد [۲۷]. برای انجام این کار، ابتدا پارامترهای موثر بر فرایند و سپس بازه تغییر هریک از متغیرهای مستقل با توجه به مطالعه‌های گذشته و آزمایش‌های مقدماتی تعیین شد [۲۸]. محاسبه معادله مدل یکی از مراحل بهینه سازی به وسیله RSM می‌باشد. از معادله مدل برای تخمین مقدار پاسخ‌ها در شرایط گوناگون متغیرهای ورودی استفاده می‌شود.

در ANN فرایند به صورت موازی بررسی شده و نزون‌های تشکیل دهنده شبکه به یکدیگر متصل می‌باشند. شبیه سازی هر نوع اتصال و مسیردهی بین ورودی‌ها و خروجی‌ها با استفاده از شبکه عصبی پیش‌خور^(۱) چند لایه امکان پذیر می‌باشد [۲۰]. به طوری که پرکاربردترین ساختار شبکه عصبی برای تحلیل برآرشاوهای غیر خطی به علت دقت بالا، شبکه عصبی پیش‌خور چند لایه است [۱۸]. در این مطالعه برای پیش‌بینی شرایط بهینه از شبکه عصبی پیش‌خور چند لایه استفاده شد.

از الگوریتم پس انتشار^(۲) که مهمترین الگوریتم در آموزش شبکه‌های چند لایه می‌باشد برای آموزش ANN و از آموزش و تست ساختارهای متفاوت شبکه عصبی برای تعیین ساختار بهینه استفاده شد.

داده‌ها برای شبکه عصبی با استفاده از Matlab R2013b و Design-Expert 7.0.0 برای طراحی آزمایش‌ها و RSM با استفاده از RSM پردازش شدند.

نتیجه‌ها و بحث

در این پژوهش پس از طراحی آزمایش‌ها به وسیله CCD از RSM و ANN به همراه داده‌های آزمایشگاهی برای پیش‌بینی میزان غلظت کروم و روی در آزمایش TCLP و مقاومت فشاری لجن خشک ثبت و جامدسازی شده استفاده شد. همچنین پس از بهینه سازی فرایند به وسیله RSM و ANN دو مدل با یکدیگر مقایسه شد. بدین منظور میزان MgO، لجن، آهک و آب مصرفی به عنوان متغیر مستقل و میزان سیمان به عنوان متغیر وابسته در نظر گرفته شد. با توجه به مطالعه‌های گذشته و آزمایش‌های اولیه بازه تغییر هر یک از متغیرها تعیین شد [۲۶، ۱۷، ۱۶]. حد پایین (-۲) برای MgO (A)، لجن خشک (B)، آهک (C) و آب (D) برحسب درصد وزنی به کل مواد جامد (گرم/۱۰۰ گرم مواد جامد) به ترتیب برابر ۰، ۵۰ و ۳۰ و حد بالا (+۲) برای این چهار متغیر به ترتیب برابر ۱۵، ۱۰، ۸۰ و ۴۰ تعیین شد. مقدارهای متغیرهای ورودی و خروجی ۳۰ آزمایش انجام شده در جدول ۳ مشخص شده است.

(۱) Feed forward

تولید شیرابه از لجن ثبت شده

برای تخمین رفتار طولانی مدت لجن خشک ثبت شده از آزمایش TCLP استفاده شد. پس از نگهداری نمونه‌ها به مدت ۲۸ روز، نمونه به ذراتی با قطر کمتر از ۱۰ mm خرد شد. سپس به همراه مایع استخراج به مخزن استخراج انتقال یافت. برای ساخت مایع استخراج، ۵/۷ mL استیک اسید با آب مقطر مخلوط شد تا حجم آن به یک لیتر افزایش یابد. طبق استاندارد pH محلول پایانی باید برابر $2/88 \pm 0/05$ باشد. پس از اضافه کردن مایع استخراج درب مخزن استخراج بسته شده و به مدت 18 ± 2 h در دور ۳۰ rpm و در دمای $23 \pm 2^\circ\text{C}$ فرایند استخراج انجام شد سپس با صاف کردن، عملیات جداسازی فاز مایع و جامد صورت گرفت [۲۵]. میزان فلزهای موجود در شیرابه به وسیله Flame Atomic Absorption Spectrometry (FAAS) دستگاه Buck scientific 210VGP با نام تجاری 210VGP اندازه گیری شد.

بهینه سازی

در این مطالعه تأثیر میزان MgO (A)، لجن (B)، آهک (C)، آب (D) و سیمان (E) بر راندمان فرایند ثبت و جامدسازی لجن خشک اولیه و مقاومت فشاری لجن خشک ثبت شده بررسی شد. برای کاهش تعداد متغیرهای مستقل و در نتیجه کاهش تعداد آزمایش‌های مورد نیاز میزان سیمان مصرفی (E) به عنوان یک متغیر وابسته محسوب شد. بدین منظور میزان سیمان مصرفی در هر نمونه برابر با تفاوت وزن مجموع مواد جامد برحسب گرم با $100 - \text{MgO-Lجن} - \text{آهک} = 100 - \text{سیمان مصرفی}$ در نظر گرفته شد. بازه تغییر چهار متغیر مستقل با توجه به مطالعه‌های گذشته تعیین شد [۲۶، ۱۷، ۱۶]. با توجه به اینکه یکی از روش‌های بهینه‌سازی مورد استفاده در این مطالعه روش سطح پاسخ بود، تعداد آزمایش‌های مورد نیاز در این مطالعه با در نظر گرفتن ۶ نقطه مرکزی ۳۰ آزمایش شد. این تعداد آزمایش به وسیله CCD تعریف شد. این نوع طراحی شامل دو قسمت مکعب و ستاره بود. قسمت مکعبی مربوط به طرح غربالگری فاکتوریل و قسمت ستاره نقاط اضافه که دارای فاصله یکسان از مرکز مکعب بودند را در برگرفت.

این نقاط اضافه روی هر یک از وجهه مکعب در نظر گرفته شد. برای مدل‌سازی و پیش‌بینی راندمان فرایند ثبت و جامدسازی و مقاومت فشاری لجن ثبت شده از RSM و ANN استفاده شد. طراحی آزمایش به وسیله RSM سبب ایجاد یک مدل

(۲) Back propagation

جدول ۳- ماتریس طراحی شده به وسیله طرح مرکب مرکزی (CCD) برای بهینه سازی فرایند تنبیت و جامدسانزی.

شماره آزمایش	A	B	C	D	E	مقاومت فشاری (kg/cm ³)	غلظت روی (mg/L)	غلظت کروم (mg/L)
۱	۱۱,۲۵	۷۲,۵	۲,۵	۳۲,۵	۱۳,۷۵	۴,۴	۰,۹	۴
۲	۳,۷۵	۷۲,۵	۷,۵	۳۷,۵	۱۶,۲۵	۳,۷	۰,۷	۸
۳	۱۱,۲۵	۵۷,۵	۷,۵	۳۲,۵	۲۳,۷۵	۶	۰,۳	۱
۴	۱۱,۲۵	۵۷,۵	۲,۵	۳۲,۵	۲۸,۷۵	۱۸,۶	۰,۵	۰,۵
۵	۱۱,۲۵	۷۲,۵	۷,۵	۳۷,۵	۸,۷۵	۳,۵	۰,۵	۳
۶	۷,۵	۶۵	۵	۳۵	۲۲,۵	۶,۷	۰,۹	۷
۷	۷,۵	۸۰	۵	۳۵	۷,۵	۳,۵	۱,۲	۱۰
۸	۷,۵	۶۵	۵	۳۵	۲۲,۵	۶,۵	۱	۸
۹	۳,۷۵	۵۷,۵	۷,۵	۳۲,۵	۲۱,۲۵	۹	۱,۶	۱۴
۱۰	۱۱,۲۵	۵۷,۵	۵	۳۵	۲۲,۵	۶,۵	۰,۸	۶,۵
۱۱	۳,۷۵	۵۷,۵	۷,۵	۳۲,۵	۳۶,۲۵	۲۶,۵	۱,۳	۱۱
۱۲	۷,۵	۶۵	۵	۳۵	۲۲,۵	۶,۲	۰,۸	۶,۵
۱۳	۳,۷۵	۵۷,۵	۷,۵	۳۲,۵	۳۱,۲۵	۱۴,۵	۰,۵	۶
۱۴	۷,۵	۶۵	۱۰	۳۵	۱۷,۵	۳,۶	۰,۶	۷
۱۵	۳,۷۵	۵۷,۵	۷,۵	۳۲,۵	۳۱,۲۵	۱۱,۹	۰,۷	۸,۲
۱۶	۱۱,۲۵	۵۷,۵	۷,۵	۳۲,۵	۳۳,۷۵	۵,۳	۰,۵	۳
۱۷	۷,۵	۶۵	۵	۳۵	۲۲,۵	۶,۴	۱	۸
۱۸	۳,۷۵	۵۷,۵	۲/۵	۳۵	۳۶/۲۵	۲۱,۲	۱,۸	۱۶
۱۹	۷,۵	۶۵	۵	۳۵	۲۲/۵	۸,۶	۰,۸	۶,۵
۲۰	۷,۵	۶۵	۵	۳۵	۲۲/۵	۶,۵	۰,۹	۷,۵
۲۱	۰	۶۵	۵	۳۵	۳۰	۱۵,۱	۱,۷	۱۸
۲۲	۷,۵	۶۵	۵	۳۵	۲۲/۵	۶,۷	۰,۸	۶,۵
۲۳	۱۱,۲۵	۵۷,۵	۷,۵	۳۲,۵	۲۸/۷۵	۱۶,۷	۰,۸	۳,۵
۲۴	۱۱,۲۵	۵۷,۵	۷,۵	۳۲,۵	۸/۷۵	۳,۵	۰,۷	۴,۵
۲۵	۳,۷۵	۷۲,۵	۷,۵	۳۲,۵	۱۶/۲۵	۳,۸	۱	۱۲
۲۶	۱۱,۲۵	۵۷,۵	۷,۵	۳۲,۵	۱۳/۷۵	۴,۳	۱	۶
۲۷	۱۵	۶۵	۵	۳۵	۱۵	۴	۰,۷	۱,۵
۲۸	۷,۵	۵۰	۵	۳۵	۳۷/۵	۲۲,۴	۱	۸,۵
۲۹	۳,۷۵	۷۲,۵	۷,۵	۳۲,۵	۲۱/۲۵	۸,۵	۲,۲	۲۰
۳۰	۷,۵	۶۵	۰	۳۵	۲۷/۵	۱۸,۹	۱	۶

جدول ۴- تجزیه و تحلیل واریانس (ANOVA) برای پاسخ‌های روش سطح پاسخ.

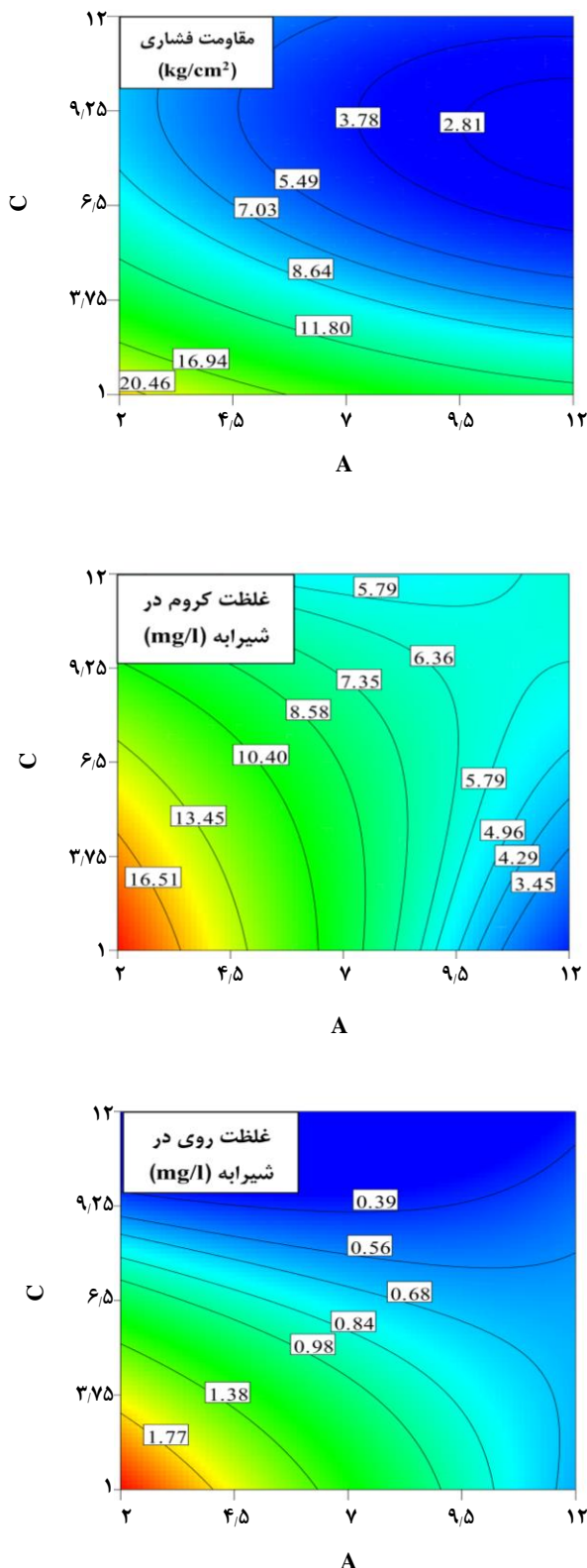
مقدار P			مجموع مربعات			منع
غلظت کروم	غلظت روی	مقاومت فشاری	غلظت کروم	غلظت روی	مقاومت فشاری	
<۰,۰۰۰۱ ^a	<۰,۰۰۰۱ ^a	<۰,۰۰۰۱ ^a	۵۹۱,۴۹	۴,۷۲	۱۲۴۹,۲۳	مدل
<۰,۰۰۰۱ ^a	<۰,۰۰۰۱ ^a	<۰,۰۰۰۱ ^a	۴۳۹,۴۷	۱,۸۱	۱۴۵,۰۴	A
۰,۰۱۰۲ ^a	۰,۰۰۹۲ ^a	<۰,۰۰۰۱ ^a	۲۶,۶۷	۰,۲۸	۵۷۸,۲	B
۰,۰۰۶۴ ^a	<۰,۰۰۰۱ ^a	<۰,۰۰۰۱ ^a	۳۱,۰۵	۱,۵	۳۱۹,۷۴	C
۰,۰۴۷۸ ^a	۰,۰۴۶۱ ^a	۰,۰۰۳۵ ^a	۱۳,۰۵	۰,۱۳	۱۰,۱۴	D
۰,۶۴۵۸	۰,۷۸۲	۰,۰۰۰۲ ^a	۰,۶۸	۰,۰۰۲۵	۲۰,۷	AB
۰,۰۰۳۵ ^a	۰,۰۰۱۳ ^a	۰,۱۴۹۶	۳۶,۹۱	۰,۴۹	۱,۹۶	AC
۰,۶۰۶۷	۰,۴۱۱۳	۰,۱۳۶۵	۰,۸۶	۰,۰۲۲	۲۱	AD
۰,۶۰۶۷	۰,۵۸۱۵	<۰,۰۰۰۱ ^a	۰,۸۶	۰,۰۰۱	۷۰,۵۶	BC
۰,۱۸۸۲	۰,۱۷۹۳	۰,۰۰۵۷۹	۵,۸۸	۰,۰۶۳	۶	BD
۰,۰۰۲۶۶ ^a	۰,۰۳۹۶ ^a	۰,۲۵۱۲	۱۸,۷۱	۰,۱۶	۱,۲۱	CD
۰,۱۰۴۶	۰,۰۴۸۱ ^a	۰,۰۰۱۲ ^a	۹,۲۳	۰,۱۵	۱۳,۴۴	A ^r
۰,۱۹۵۴	۰,۱۷۷۸	<۰,۰۰۰۱ ^a	۵,۶۸	۰,۰۶۳	۶۵,۹	B ^r
۰,۴۹۹۷ ^a	۰,۴۳۶۷	<۰,۰۰۰۱ ^a	۱,۴۸	۰,۰۲	۳۴,۷۱	C ^r
۰,۸۹۵۷	۰,۹۵۱۸	۰,۳۰۳۵	۰,۰۵۵	۰,۰۰۱۲	۰,۹۶	D ^r
			۴۶,۴۱	۰,۴۷	۱۲,۷۴	باقیمانده
۰,۰۰۸	۰,۰۲۵۳	۰,۰۰۲۹	۴۴,۴۱	۰,۴۴	۱۲,۳۸	نقص برازش

خشک دارای بیشترین تأثیر منفی بر روی مقاومت فشاری می‌باشد. به عبارت دیگر تنها عاملی که به صورت منفرد بر روی مقاومت فشاری نمونه دارای تأثیر مثبت بوده سیمان (E) می‌باشد. با افزایش مصرف سیمان به عنوان متغیر وابسته ($E=100-A-B-C$)، میزان مصرف سایر متغیرها کاهش و در نتیجه میزان مقاومت فشاری افزایش می‌یابد. همچنین میزان لجن خشک و آهک به ترتیب دارای بیشترین تأثیر در افزایش و کاهش غلظت کروم و روی در شیرابه TCLP نمونه‌ها بودند.

با توجه به جدول ۴ میزان تأثیر برخی از برهمکنش‌های بین پارامترها در سطح اطمینان ۹۵٪ معنادار نبوده و حذف این پارامترها در دقت مدل تأثیر محسوسی ندارد. درنتیجه جهت مدل‌سازی سه پاسخ موجود در این پژوهش از مدل کاهشی درجه دوم استفاده شد.

RSM در جدول ۴ اثرهای اصلی و برهمکنشی متغیرها بر مقاومت فشاری و غلظت کروم و روی در شیرابه TCLP در قالب تحلیل واریانس بیان شده است. در این جدول از مقدارهای P به عنوان معیاری برای تشخیص میزان معنا داری اثرات متغیرهای گوناگون بر پاسخ‌ها استفاده شد. تا زمانی که مقدار P برای مدل کمتر از ۰,۰۵ باشد، بین متغیر و پاسخ مورد نظر در سطح اطمینان ۹۵٪ رابطه آماری وجود دارد.

با توجه به جدول ۴ در سطح اطمینان ۹۵٪ تمام اثرات اصلی معنادار می‌باشند. چهار پارامتر MgO , لجن خشک، آهک و آب که در مدل به ترتیب با A, B, C و D مشخص می‌باشند بر روی مقاومت فشاری تأثیر منفی داشته و از بین این پارامترها، لجن



شکل ۱- نمودار شمارنده به دست آمده از تاثیر همزمان MgO (A) و آهک (C) (بر اف) مقاومت فشاری، (ب) غلظت کروم و (ج) غلظت روی در شیرابه .TCLP

پس از حذف برهمکنش‌های دارای اهمیت ناچیز، مدل‌های مورد استفاده در این مطالعه در مقدار P برابر ۵ درصد و سطح اطمینان ۹۵ درصد معنادار بوده است. میزان مقاومت فشاری نمونه و غلظت کروم و روی در شیرابه TCLP به ترتیب از طریق معادله (۱) تا (۳) قابل محاسبه می‌باشند.

$$\text{مقاومت فشاری نمونه} = 6.81 - 2.46A - 4.91B - 3.65C - 0.65D + 1.14AB + 2.1BC + 0.67A^2 + 1.52B^2 + 1.1C^2 \quad (1)$$

$$\text{غلظت کروم در شیرابه نمونه} = 7.16 - 4.28A + 1.05B - 1.14C + 0.74D + 1.52AC - 1.08CD + 0.56A^2 \quad (2)$$

$$\text{غلظت روی در شیرابه نمونه} = 0.88 - 0.28A + 0.11B - 0.25C + 0.075D + 0.18AC - 0.1CD + 0.071A^2 \quad (3)$$

میزان خربی همبستگی و ضریب همبستگی اصلاحی برای مدل‌سازی مقاومت فشاری نمونه‌ها به ترتیب برابر ۰/۸۰ و ۰/۹۷۱، غلظت کروم در شیرابه TCLP برابر ۰/۹۰۱ و ۰/۸۷۰ و غلظت روی در شیرابه TCLP برابر ۰/۸۷۲ و ۰/۸۳۱ می‌باشد. درنتیجه با توجه به شاخص‌های آماری، مدل در پیش‌بینی پاسخ‌ها از راندمان بالایی برخوردار بود.

در شکل ۱ نمودار شمارنده پاسخ‌ها نمایش داده شده است. با توجه به شکل ۱-الف بیشترین مقاومت فشاری نمونه (بیش از ۲۰ kg/cm²) در MgO کمتر از ۲ g و آهک کمتر از ۱ g دیده می‌شود. به عبارت دیگر با افزایش میزان آهک و MgO در نمونه‌ها به دلیل کاهش میزان سیمان پرتلند مصرفی میزان مقاومت فشاری نمونه‌ها کاهش یافته است. مهمترین ترکیبات سیمان خشک شامل آلت (Ca₃SiO₅)، دی و تری کلسیم آلومینات می‌باشند. این ترکیبات در واکنش با آب سبب تولید پرتلینیت (Ca(OH)₂) و کلسیم سیلیکات‌های هیدراته در هیدراسیون، واحدهای ارتوسیلیس مجزا (SiO₄⁴⁻) موجود در کلینکر سیمان به واحدهای دی سیلیس (Si₂O₇⁶⁻) تبدیل شده و با پیشرفت فرایند هیدراسیون یون‌های سیلیس زنجیره‌های پلیمری بلند تشکیل می‌دهند. این پلیمرسازی سبب عمل آوری ملات و افزایش مقاومت فشاری می‌شود [۲۳]. افزایش میزان مصرف آهک و MgO و کاهش سیمان در نمونه‌ها، سبب کاهش سیلیس شده و این کاهش سبب کاهش تولید سیلیکات‌کلسیم هیدراته و مقاومت فشاری می‌شود.

ANN

برای طراحی ANN چهار عامل تأثیر گذار بر فرایند تثبیت و جامدسانی، در لایه ورودی شبکه و میزان مقاومت فشاری، غلظت روی و کروم در شیرابه TCLP به عنوان پاسخ در لایه خروجی ANN در نظر گرفته شد.

شبکه عصبی پس انتشار به یک وسیله مناسب برای مدل سازی سامانه های زیست محیطی تبدیل شده است [۲۷]. در این پژوهش به منظور انتخاب الگوریتم پس انتشار بهینه، ۱۲ الگوریتم پس انتشار با یکدیگر مقایسه شد و از بین آن ها الگوریتم پس انتشار بهینه برای داده های جمع آوری شده، انتخاب شد. در تمام الگوریتم ها، شبکه عصبی دارای یک لایه پنهان با ۱۰ نرون و تابع انتقال سیگموئید و لایه خروجی با تابع انتقال خطی بود. برای ارزیابی راندمان الگوریتم های گوناگون از پارامترهای آماری استفاده شد. نتیجه های آموزش شبکه عصبی با الگوریتم های گوناگون پس انتشار در این پژوهش، در جدول ۵ ارایه شده است. با توجه به این جدول الگوریتم لونبرگ - مارکوارت^(۱) به عنوان بهترین الگوریتم برای آموزش شبکه عصبی در این مطالعه انتخاب شد. جهت تعیین ساختار شبکه، شبکه عصبی با الگوریتم لونبرگ - مارکوارت و یک لایه پنهان انتخاب و با تعداد نرون های گوناگون آموزش داده شد. با توجه به جدول ۶ کمترین میزان RMSE^(۲) برای مقاومت فشاری در شبکه عصبی دارای ۱۰ نرون و برای میزان غلظت روی و کروم در شبکه عصبی دارای ۱۱ نرون به دست آمد. بنابراین در این مطالعه برای پیش بینی مقاومت فشاری از شبکه عصبی دارای ۴ نرون در لایه ورودی، ۱۰ نرون در لایه پنهان و یک نرون در لایه خروجی و برای پیش بینی میزان غلظت روی و کروم از شبکه عصبی دارای ۴ نرون در لایه ورودی، ۱۱ نرون در لایه پنهان و یک نرون در لایه خروجی استفاده شد.

از RSM و شبکه عصبی برای به دست آوردن حالت های بهینه فرایند تثبیت و جامدسانی استفاده شد. طبق استاندارد برای دفن پسماند در محل دفن زباله، مقاومت فشاری پسماند باید بیش از 5 mg/cm^2 و غلظت کروم در شیرابه TCLP کمتر از 5 mg/L باشد [۱۲، ۵]. درنتیجه در این پژوهش با در نظر گرفتن استاندارد در حالت اول بهینه سازی رسیدن به بیشترین لجن خشک قبل دفن شاخص در نظر گرفته شد. در حالت دوم بهینه سازی با در نظر گرفتن ضریب اطمینان رسیدن به مقاومت فشاری بیش از 10 kg/cm^2 و غلظت کروم کمتر از 3 mg/L و رسیدن به بیشترین لجن خشک قابل دفن هدف گذاری شد. در حالت سوم بهینه سازی،

(۱) Levenberg-Marquardt

باتوجه به شکل ۱ - ب کمترین غلظت کروم در شیرابه نمونه ها (کمتر از $3/5 \text{ mg/L}$) در MgO بیش از $11/25 \text{ g}$ و آهک کمتر از $2/5 \text{ g}$ دیده شد. به طور کلی با افزایش میزان MgO مصرفی، میزان غلظت کروم همواره کاهش می یابد. مصرف MgO به علت قلیائیت کمتر (pH حدود ۱۰) نسبت به سیمان و آهک سبب جلوگیری از حل شدن دوباره فلزات آمفوتری مانند کروم می شود [۱۷]. در MgO کمتر از 10 g با افزایش میزان آهک مصرفی میزان غلظت کروم کاهش می یابد. با کاهش MgO مصرفی و افزایش آهک pH نمونه و در نتیجه تبدیل کروم شش ظرفیتی به سه ظرفیتی افزایش می یابد. حرک کروم سه ظرفیتی نسبت به کروم شش ظرفیتی کمتر بوده [۲۹] و این باعث کاهش غلظت کروم در شیرابه TCLP می شود.

با توجه به شکل ۱-ج کمترین غلظت روی در شیرابه نمونه ها (کمتر از $0/4 \text{ mg/L}$) در MgO بیش از 2 g و آهک بیش از 11 g دیده می شود. همچنین با افزایش میزان MgO مصرفی میزان غلظت روی به علت کنترل قلیائیت نمونه و جلوگیری از حل شدن دوباره همواره کاهش می یابد [۱۷].

با توجه به شکل ۱ و معادله (۱)، آهک و MgO سبب کاهش مقاومت فشاری نمونه می شوند. میزان تأثیر منفی آهک بر روی مقاومت فشاری نمونه ها حدود $1/48$ برابر MgO می باشد. همچنین آهک و MgO سبب کاهش غلظت کروم و روی در شیرابه نمونه می شود. میزان تأثیر MgO بر کاهش غلظت کروم و روی در شیرابه TCLP به ترتیب حدود $3/75$ و $1/12$ برابر آهک می باشد (معادله های (۲) و (۳)). بنابراین در یک تحلیل خطی و با در نظر نگرفتن اندرکنش پارامترها استفاده بیشتر از MgO به جای آهک سبب افزایش راندمان فرایند تثبیت و جامدسانی می شود. این نوع تأثیر MgO در مطالعات گذشته بر روی سایر پسماندها مورد تأیید قرار گرفته است [۱۶، ۱۷، ۱۸، ۳۰]. با در نظر گرفتن اندرکنش سیمان، آهک و MgO (شکل ۱ الف تا ج) تا زمانی که میزان MgO مصرفی کمتر از 10% وزنی نمونه باشد، مقاومت فشاری با میزان غلظت فلزات سنگین در شیرابه دارای رابطه مستقیم بوده و با افزایش مقاومت فشاری میزان غلظت فلزات سنگین در شیرابه افزایش می یابد. در حالی که با افزایش میزان MgO مصرفی به بیش از 10% وزنی نمونه، با افزایش مقاومت فشاری میزان غلظت فلزات سنگین در شیرابه کاهش یافته است. به عبارت دیگر بین مقاومت فشاری و میزان غلظت فلزات سنگین در شیرابه TCLP همواره یک رابطه خطی وجود ندارد.

(۲) Root mean square error

جدول ۵ - مقایسه کارائی الگوریتم ها پس انتشار در پیش بینی مقاومت فشاری و غلظت فلزات در شیرابه TCLP

غلظت کروم		غلظت روی		مقاومت فشاری		نوع الگوریتم
RMSE	R	RMSE	R	RMSE	R	
۲/۱۳	۰/۸۸۷	۰/۵۵۷	۰/۲۰۳	۱/۴۹۶	۰/۹۷۵	پس انتشار BFGS گوسی- نیوتون
۱/۲۱۹	۰/۹۶۵	۰/۱۲۷	۰/۹۵۶	۰/۳۱۶	۰/۹۹۹	پس انتشار تعديل بیزی
۲/۲۱۷	۰/۸۷۷	۰/۶۰۲	۰/۳۹۴	۰/۹۵۳	۰/۹۶	پس انتشار شبیب مزدوج با شروع مجدد پاول- بیل
۲/۴۳۲	۰/۸۷۸	۰/۷۱۹	۰/۴۷۲	۲/۵۴۳	۰/۹۲۶	پس انتشار شبیب مزدوج با بهنگام سازی فلچر- ریوز
۲/۸۵۲	۰/۷۹	۰/۶۶۶	۰/۵۸۶	۲/۰۰۲	۰/۹۵۳	پس انتشار شبیب مزدوج با بهنگام سازی پولاک- ریبر
۲/۸۶۶	۰/۸۲۱	۱/۶۶۹	۰/۲۵	۳/۸۶۲	۰/۸۱۳	نزول شبیب دار با پس انتشار نرخ یادگیری انطباقی
۲/۳۷۱	۰/۸۶۷	۰/۵۵۶	۰/۰۲۲	۱/۱۲۱	۰/۹۸۵	نزول شبیب دار با پس انتشار اندازه حرکت و نرخ یادگیری انطباقی
۰/۸۳۵	۰/۹۸۴	۰/۰۷۵	۰/۹۸۴	۰/۲۱۷	۰/۹۹۹	پس انتشار لونبرگ مارکوات
۲/۲۶۷	۰/۸۹۴	۰/۶۷۳	۰/۶۱۷	۲/۴۱۹	۰/۹۳۲	پس انتشار متقطع تک گام
۲/۳۱۴	۰/۸۷۹	۰/۲۶۵	۰/۸۲۶	۱/۱۵۱	۰/۹۸۴	آموزش تدریجی رتبه تصادفی با توابع آموزش
۲/۳۷۴	۰/۸۵۸	۰/۲۷۱	۰/۷۶	۳/۰۹۴	۰/۸۸۵	پس انتشار برجهنه
۳/۷۳۵	۰/۷۷۷	۰/۹۳۸	۰/۳۴۲	۳/۰۳	۰/۹۲۱	پس انتشار شبیب مزدوج مدرج

جدول ۶ - تاثیر تعداد نرون ها بر روی ضریب همبستگی و محدوده میانگین مریع خطای.

غلظت کروم		غلظت روی		مقاومت فشاری		تعداد نرون
R	RMSE	R	RMSE	R	RMSE	
۰/۸۶۰	۲/۳۵۸	۰/۷۱۳	۰/۲۹۶	۰/۹۸۱	۱/۳۳۸	۲
۰/۸۶۵	۲/۴۰۷	۰/۸۳۹	۰/۲۳۹	۰/۹۷۸	۱/۳۸۴	۳
۰/۸۹۶	۲/۱۹۵	۰/۷۲۷	۰/۳۰۹	۰/۹۸۰	۰/۶۷۶	۴
۰/۹۱۷	۱/۸۶۹	۰/۸۴۳	۰/۲۲۵	۰/۹۹۲	۰/۸۶۳	۵
۰/۸۰۴	۲/۳۲۴	۰/۷۳۱	۰/۳۳۴	۰/۹۸۱	۱/۳۲۵	۶
۰/۹۲۱	۱/۸۰۸	۰/۸۳۴	۰/۲۳۴	۰/۹۸۲	۱/۲۴۰	۷
۰/۹۲۶	۱/۸۴۳	۰/۹۱۷	۰/۱۹۴	۰/۹۹۳	۰/۸۰۱	۸
۰/۸۵۶	۳/۲۱۳	۰/۸۴۸	۰/۲۳۶	۰/۹۳۶	۲/۵۲۹	۹
۰/۹۵۴	۱/۴۰۷	۰/۹۷۱	۰/۱۰۳	۰/۹۹۹	۰/۲۲۲	۱۰
۰/۹۹۲	۰/۵۷۳	۰/۹۸۹	۰/۰۶۲	۰/۹۹۷	۰/۴۶۵	۱۱
۰/۹۰۷	۱/۹۶۵	۰/۸۵۰	۰/۲۲۱	۰/۹۸۰	۱/۳۷۷	۱۲
۰/۷۵۴	۳/۸۷۷	۰/۶۶۶	۰/۴۶۶	۰/۹۶۱	۲/۱۴۹	۱۳
۰/۹۲۰	۱/۸۴۳	۰/۸۵۸	۰/۲۵۴	۰/۹۰۵	۳/۱۸۶	۱۴
۰/۹۷۷	۱/۰۵۳	۰/۹۵۳	۰/۱۲۸	۰/۹۶۹	۱/۶۷۷	۱۵

جدول ۷ - حالات بهینه در فرایند ثبیت و جامدسانزی لجن صنایع آبکاری.

(mg/L) غلظت کروم	آزمایشگاهی	مدل	(mg/L) غلظت روی	آزمایشگاهی	مدل	(kg/cm ²) مقاومت فشاری نمونه	متغیرها					روش بهینه‌سازی	حالات بهینه
							E	D	C	B	A		
۴,۶	۴,۹	۱	۰,۸	۴,۲	۴,۷۵	۱۳,۸	۳۵,۹	۲,۶	۷۲,۵	۱۱,۱	RSM	۱	
۴,۸	۵	۰,۸	۰,۸۵	۳,۹	۴,۵۵	۱۳,۵	۳۳,۸	۲,۵	۷۳,۱	۱۰,۹	ANN		
۲,۶	۲,۹۸	۰,۹	۰,۷	۸,۹	۱۰	۲۱,۸	۳۲,۶	۲,۵	۶۵,۷	۱۰	RSM	۲	
۲,۸	۲,۹۴	۰,۶	۰,۶۶	۹,۶	۱۰	۲۳,۲	۳۴,۱	۲,۶	۶۳,۱	۱۱,۱	ANN		
۲,۹	۳	۰,۹	۰,۶	۱۱,۱	۱۱,۵	۲۵,۸	۳۲,۵	۳,۸	۶۰,۸	۹,۶	RSM	۳	
۳,۲	۳	۰,۷	۰,۷۵	۱۰,۲	۱۰,۹	۲۵,۳	۳۳,۴	۳,۹	۶۱,۴	۹,۴	ANN		

جدول ۸ - مقایسه نتایج آزمایشگاهی و نتایج RSM و ANN برای ده آزمایش تصادفی.

(mg/L) غلظت کروم	غلظت روی		مقایسه فشاری نمونه (kg/cm ²)		متغیرهای فرایند							
	آزمایشگاهی	ANN	RSM	آزمایشگاهی	ANN	RSM	آزمایشگاهی	ANN	RSM	D	C	B
۲۶,۵	۲۵,۷۸۶	۱۹,۸۲۷	۱,۷	۱,۸۱۵	۲,۳۱۷	۱۳,۸	۱۴,۴۸۱	۱۱,۴۶۲	۳۰	۰	۷۸	۱
۱۲,۱	۹,۷۹۸	۷,۷۷۴	۰,۷	۰,۸۸۰	۰,۸۲۱	۶,۵	۷,۱۳۰	۷,۶۶۱	۳۱	۶	۶۵	۶
۵,۱	۵,۰۸۶	۶,۴۳۰	۰,۸	۰,۹۵۱	۰,۹۶۶	۳,۹	۴,۶۴۳	۴,۵۷۸	۳۸	۴	۶۸	۱۰
۲,۵	۲,۵	۳,۴۳۸	۰,۸	۰,۸۶۱	۰,۶۴۷	۱۸,۲	۱۸,۹۴۵	۱۶,۳۸۹	۳۰	۳	۶۰	۸
۱,۹	۰,۲۵۸	۵,۵۷۰	۱,۱	۱,۲۰۰	۰,۸۶۵	۲,۹	۳,۳۱۱	۲,۹۸۶	۳۲	۹	۶۹	۱۴
۶,۱	۸,۲۳۳	۵,۲۵۴	۱,۲	۱,۲۹۹	۱,۰۶۶	۱,۸	۲,۰۳۵	۶,۱۱۷	۳۷	۱	۷۶	۱۲
۱۴,۲	۱۵,۱۱۱	۱۱,۷۱۶	۱,۲	۱,۴۴۵	۱,۵۳۲	۱۸,۵	۱۹,۴۴۷	۱۶,۴۳۵	۳۷	۱	۶۴	۷
۲۳,۲	۲۴,۸۸۸	۱۸,۰۹۳	۱,۷	۱,۸۴۸	۱,۸۱۹	۲۶,۱	۲۶,۲۵۶	۲۸,۲۹۳	۳۹	۴	۵۴	۱
۳,۹	۳,۵۶۸	۲,۷۰۴	۱	۰,۸۲۷	۰,۷۱۹	۲,۸	۳,۰۵۶	۱,۰۹۳	۴۰	۸	۷۰	۱۵
۱۲,۴	۱۲,۷۰۷	۸,۸۷۲	۰,۸	۰,۸۵۱	۰,۵۴۳	۱۱,۳	۱۲,۳۸۷	۱۱,۸۶۸	۴۰	۹	۶۲	۰

آزمایشگاهی نزدیکتر بوده به طوری که ضریب همبستگی بین داده های آزمایشگاهی و پیش بینی شده به وسیله ANN برای مقاومت فشاری، غلظت کروم و روی در شیرابه TCLP به ترتیب برابر $0,999$, $0,923$, $0,977$ و در RSM به ترتیب $0,934$, $0,814$, $0,943$ و $0,934$ بود. همچنین RMSE بین داده های آزمایشگاهی و پیش بینی شده به وسیله ANN برای مقاومت فشاری، غلظت کروم و روی در شیرابه TCLP به ترتیب برابر $0,66$, $0,144$, $0,301$ و $0,1301$ و در RSM به ترتیب $0,281$, $0,553$ و $0,281$ بود. بنابراین شبکه عصبی با دقت بیشتری قادر به مدل سازی فرایند ثبیت و جامدسانزی لجن صنایع آبکاری بود.

افزون بر شاخص های مرحله دوم مصرف کمینه MgO و مصرف بیشینه آهک نیز به عنوان شاخص در نظر گرفته شد. دلیل در نظر گرفتن این مرحله هزینه بالای MgO نسبت به آهک بود. حالات بهینه این دو مرحله در جدول ۷ نمایش داده شده است.

مقایسه مدل سازی به وسیله RSM و ANN

پس از مدل سازی، ۱۰ آزمایش به طور تصادفی توسط برنامه Matlab طراحی و میزان مقاومت فشاری، غلظت کروم و روی پیش بینی شده به وسیله ANN و RSM با میزان آزمایشگاهی مقایسه شد (جدول ۸) با توجه به جدول ۸ مقدارهای پیش بینی شده به وسیله ANN در مقایسه با RSM به مقدارهای

با درنظر گرفتن اندرکنش سیمان، آهک و MgO، رابطه بین مقاومت فشاری و میزان غلظت فلزات سنگین در شیرابه به دست آمده از آزمایش TCLP همواره یک رابطه خطی نمی‌باشد و به میزان MgO مصرفی بستگی دارد. نمودار تأثیر همزمان آهک و MgO بر مقاومت فشاری و غلظت کروم در شیرابه نمونه‌ها نشان داد که بیشترین مقاومت فشاری نمونه (بیش از 20 kg/cm^2) در MgO کمتر از ۲g و آهک کمتر از ۱g و کمترین غلظت کروم در شیرابه نمونه‌ها (کمتر از 3 mg/L) در MgO بیش از $11/25\text{ g}$ و آهک کمتر از $2/5\text{ g}$ به دست می‌آید. روش RSM و ANN می‌تواند به عنوان یک روش مطمئن در مدل سازی فرایند تنبیت و جامدسانزی لجن صنایع آبکاری عمل کند. همچنین بهینه‌سازی بهوسیله ANN در مقایسه با RSM دقیق‌تر می‌باشد.

تاریخ دریافت: ۱۳۹۲/۱۱/۱۲؛ تاریخ پذیرش: ۱۳۹۴/۶/۱

نتیجه گیری

با توجه به نتیجه‌های پژوهش، تمام اثرات اصلی چهار پارامتر MgO، لجن خشک، آهک و آب در سطح اطمینان ۹۵٪ معنادار بوده و بر روی مقاومت فشاری تأثیر منفی دارد و از بین این پارامترها، لجن خشک دارای بیشترین تأثیر منفی بر روی مقاومت فشاری می‌باشد. تنها عاملی که به صورت منفرد بر روی مقاومت فشاری نمونه دارای تأثیر مثبت بوده، سیمان می‌باشد. با افزایش مصرف سیمان به عنوان متغیر وابسته میزان مصرف سایر متغیرها کاهش یافته در نتیجه میزان مقاومت فشاری افزایش می‌یابد. میزان لجن خشک و آهک به ترتیب دارای بیشترین تأثیر در افزایش و کاهش غلظت کروم و روی در شیرابه TCLP نمونه‌ها بوده است. آهک و MgO هر دو در کاهش غلظت فلزات سنگین دارای تأثیر مثبتی بوده و میزان تأثیر MgO در کاهش غلظت کروم و روی در شیرابه TCLP به ترتیب حدود $3/75$ و $1/12$ برابر آهک می‌باشد.

مراجع

- [1] Zhen G., Yan X., Zhou H., Chen H., Zhao T., Zhao Y., Effects of Calcined Aluminum Salts on the Advanced Aewatering and Solidification/Stabilization of Sewage Sludge, *Journal of Environmental Sciences*, **23**(7):1225-32 (2011).
- [2] Xu H., Liu D.D., He L., Liu N., Ning G., Adsorption of Copper (II) from an Wastewater Effluent of Electroplating Industry by Poly (ethylenimine)-Functionalized Silica, *Iran. J. Chem. Chem. Eng. (IJCCE)*, **34**(2):73-81 (2015).
- [3] Chen Y.L., Ko M.S., Lai Y.C., Chang J.E., Hydration and Leaching Characteristics of Cement Pastes made from Electroplating Sludge, *Waste management*, **31**(6):1357-63. (2011)
- [4] Aydin A.A., Aydin A., Development of an Immobilization Process for Heavy Metal Containing Galvanic Solid Wastes by Use of Sodium Silicate and Sodium Tetaborate, *Journal of hazardous materials*, **270**:35-44 (2014).
- [5] Pandey B., Kinrade S.D., Catalan L.J., Effects of Carbonation on the Leachability and Compressive Strength of Cement-Solidified and Geopolymer-Solidified Synthetic Metal Wastes, *Journal of environmental management*, **101**:59-67 (2012).
- [6] Voglar G.E., Lestan D., Efficiency Modeling of Solidification/Stabilization of Multi-Metal Contaminated Industrial Soil Using Cement and Additives, *Journal of hazardous materials*, **192**(2):753-62 (2011).
- [7] Hale B., Evans L., Lambert R., Effects of Cement or Lime on Cd, Co, Cu, Ni, Pb, Sb and Zn Mobility in Field-Contaminated and Aged Soils, *Journal of Hazardous Materials*, **199**:119-27 (2012).

- [8] Voglar G.E., Lestan D., Solidification/Stabilisation of Metals Contaminated Industrial Soil from Former Zn Smelter in Celje, Slovenia, Using Cement as a Hydraulic Binder, *Journal of Hazardous Materials*, **178**(1):926-33 (2010).
- [9] Tantawy M.A., El-Roudi A.M., Salem A.A., Immobilization of Cr (VI) in Bagasse ash Blended Cement pastes, *Construction and Building Materials*, **30**(1):218-223 (2012).
- [10] Radić S., Babić M., Škobić D., Roje V., Pevalek-Kozlina B., Ecotoxicological Effects of Aluminum and Zinc on Growth and Antioxidants in *Lemna minor* L, *Ecotoxicology and Environmental Safety*, **73**(3):336-42 (2010).
- [11] Wu Q., Qu Y., Li X., Wang D., Chromium Exhibits Adverse Effects at Environmental Relevant Concentrations in Chronic Toxicity Assay System of Nematode *Caenorhabditis Elegans*, *Chemosphere*, **87**(11):1281-7 (2012).
- [12] Chen Q.Y., Tyrer M., Hills C.D., Yang X.M., Carey P., Immobilisation of Heavy Metal in Cement-Based Solidification/Stabilisation: a Review, *Waste Management*, **29**(1):390-403 (2010).
- [13] Ivšić-Bajčeta D., Kamberović Ž., Korać M., Gavrilovski M., A Solidification/Stabilization Process for Wastewater Treatment Sludge from a Primary Copper Smelter, *Journal of the Serbian Chemical Society*, **78**(5):725-39 (2013).
- [14] Radovanović D.D., Kamberović Ž.J., Korać M.S., Rogan J.R., Solidified Structure and Leaching Properties of Metallurgical Wastewater Treatment Sludge After Solidification/Stabilization Process, *Journal of Environmental Science and Health, Part A*, **51**(1):34-43 (2016).
- [15] Jegandan S., Liska M., Osman A.A., Al-Tabbaa A., Sustainable Binders for Soil Stabilization, *Proceedings of the ICE-Ground Improvement*, **163**(1):53-61 (2010).
- [16] Cubukcuoglu B., Ouki S.K., Solidification/Stabilisation of Electric Arc Furnace Waste Using Low Grade MgO, *Chemosphere*, **86**(8):789-96 (2012).
- [17] del Valle-Zermeño R., Giró-Paloma J., Formosa J., Chimenos J.M., Low-Grade Magnesium Oxide by-products for Environmental Solutions: Characterization and Geochemical Performance, *Journal of Geochemical Exploration*, **152**:134-44 (2015).
- [18] Khayet M., Cojocaru C., Essalhi M., Artificial Neural Network Modeling and Response Surface Methodology of Desalination by Reverse Osmosis, *Journal of Membrane Science*, **368**(1):202-14 (2011).
- [19] Ranjan D., Mishra D., Hasan S.H., Bioadsorption of Arsenic: an Artificial Neural Networks and Response Surface Methodological Approach, *Industrial & Engineering Chemistry Research*, **50**(17):9852-63 (2011).
- [20] Khanlou H.M., Sadollah A., Ang B.C., Kim J.H., Talebian S., Ghadimi A., Prediction and Optimization of Electrospinning Parameters for Polymethyl Methacrylate Nanofiber Fabrication Using Response Surface Methodology and Artificial Neural Networks, *Neural Computing and Applications*, **25**(3-4):767-77 (2014).

- [21] Keypour H., Noroozi M., Rashidi A., Shariati Rad M., *Application of Response Surface Methodology for Catalytic Hydrogenation of Nitrobenzene to Aniline Using Ruthenium Supported Fullerene Nanocatalyst*, *Iran. J. Chem. Chem. Eng. (IJCCE)*, **34**(1):21-32 (2015).
- [۲۲] ترجمان نژاد، علی؛ یاسمی، مهناز، پیش‌بینی حلایت اکسیژن در حلال‌های آلی با استفاده از شبکه عصبی مصنوعی، نشریه شیمی و مهندسی شیمی ایران، **۳۴**:۴۹ تا ۵۵ (۱۳۹۳).
- [23] Ojovan M.I., Lee W.E., "An Introduction to Nuclear Waste Immobilisation", Newnes (2013).
- [24] ASTM C109 / C109M-13e1., "Standard Test Method for Compressive Strength of Hydraulic Cement Mortars (Using 2-in. or [50-mm] Cube Specimens)", ASTM International, West Conshohocken (2013).
- [25] Method 1311., "Toxicity Characteristic Leaching Procedure Test Method for Evaluation of Solid Wastes, Physical Chemical Methods", United States Environmental Protection Agency (2003).
- [26] Lasheen M.R., Ashmawy A.M., Ibrahim H.S., Moniem S.M., *Pozzolanic-Based Materials for Stabilization/Solidification of Contaminated Sludge with Hazardous Heavy Metal: Case Study, Desalination and Water Treatment*, **51**:(13-15):2644-55 (2013).
- [27] Geyikçi F., Kılıç E., Çoruh S., Elevli S., *Modelling of Lead Adsorption from Industrial Sludge Leachate on Red mud by Using RSM and ANN*, *Chemical Engineering Journal*, **183**:53-9 (2012).
- [28] Ebrahimzadeh H., Tavassoli N., Sadeghi O., Amini M.M., Jamali M., *Comparison of Novel Pyridine-Functionalized Mesoporous Silicas for Au (III) Extraction from Natural Samples*, *Microchimica Acta*, **172**(3-4):479-87 (2012).
- [29] Trezza M.A., Tironi A., Irassar E.F., Scian A.N., *Blended Cements with Kaolinitic Calcined Clays: Study of the Immobilization of Cr (VI)*, *Calcined Clays for Sustainable Concrete*, **10**:203-209 (2015).
- [30] Lampris C., Stegemann J.A., Cheeseman C.R., *Solidification/Stabilisation of Air Pollution Control Residues Using Portland Cement: Physical Properties and Chloride Leaching*, *Waste Management*, **29**(3):1067-75 (2010).